

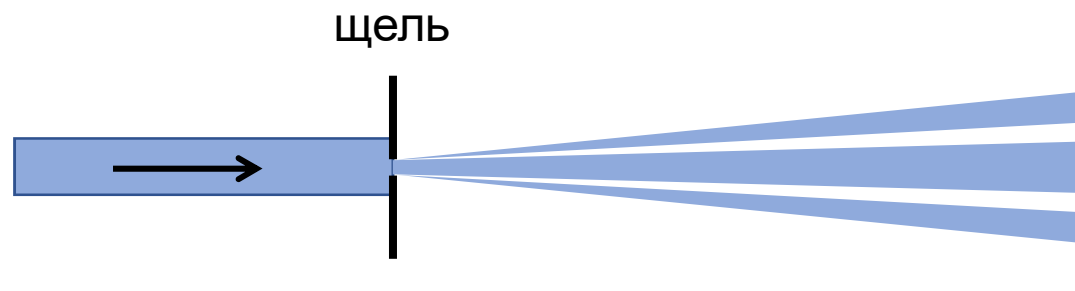
# Дифракция излучения – огибание препятствий световой волной

Х.Гюйгенс (1629-1695), кольца Сатурна, маятниковые часы

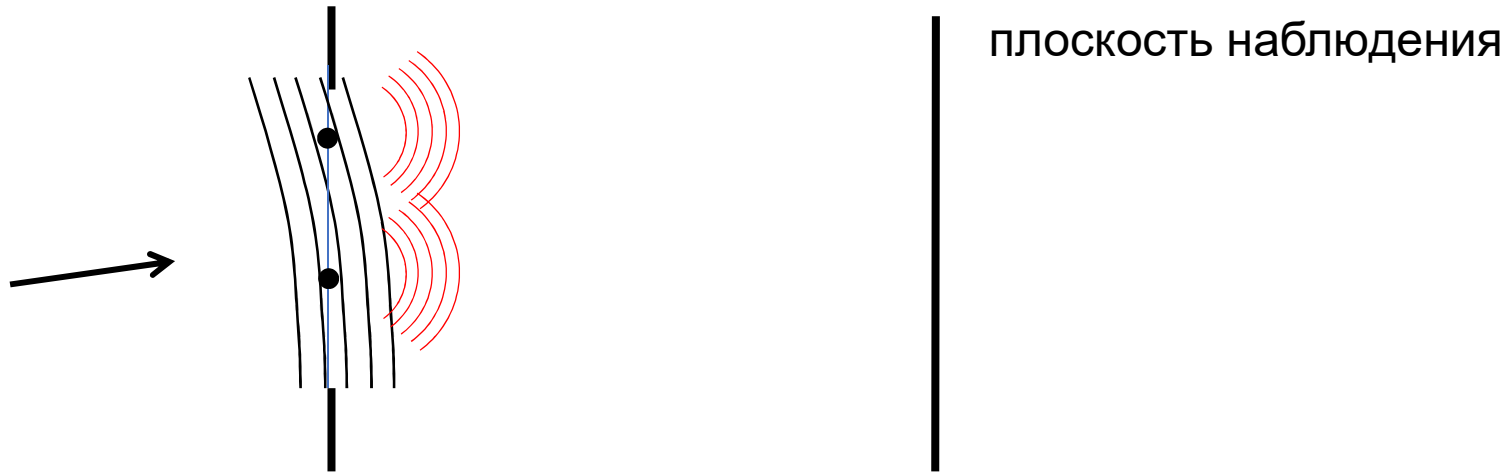
О.Френель (1788-1827), поперечность световых волн, поляризация света при отражении и преломлении, дифракция как интерференция точечных источников

Дж.Максвелл (1831-1879), теория электромагнитных волн (\*)

Г.Кирхгоф (1824-1887)



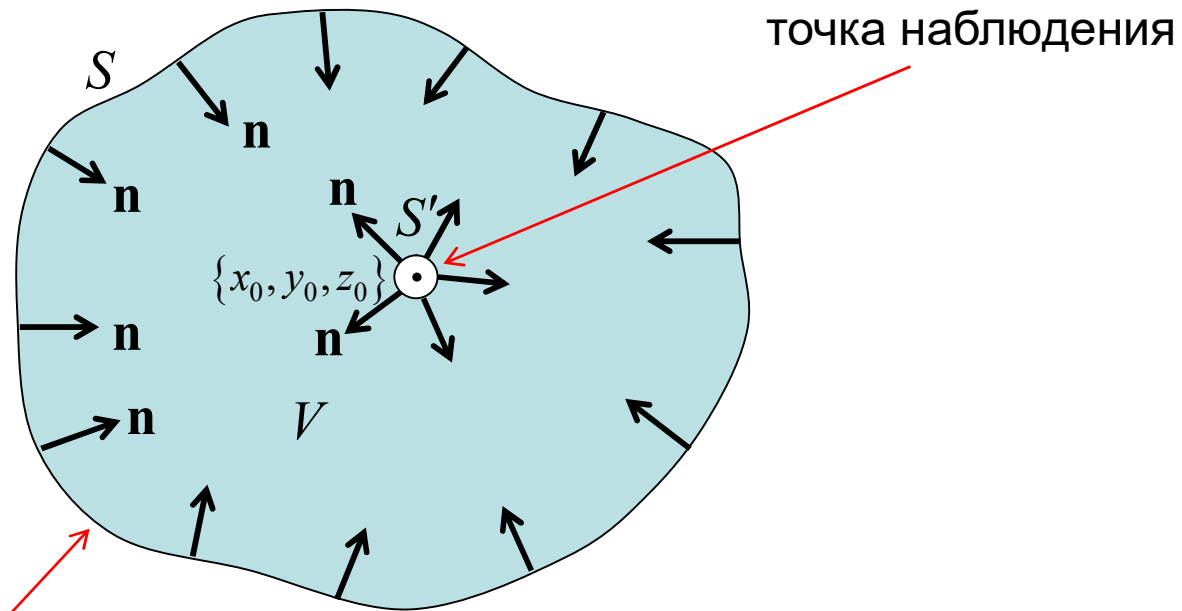
## Принцип Гюйгенса-Френеля



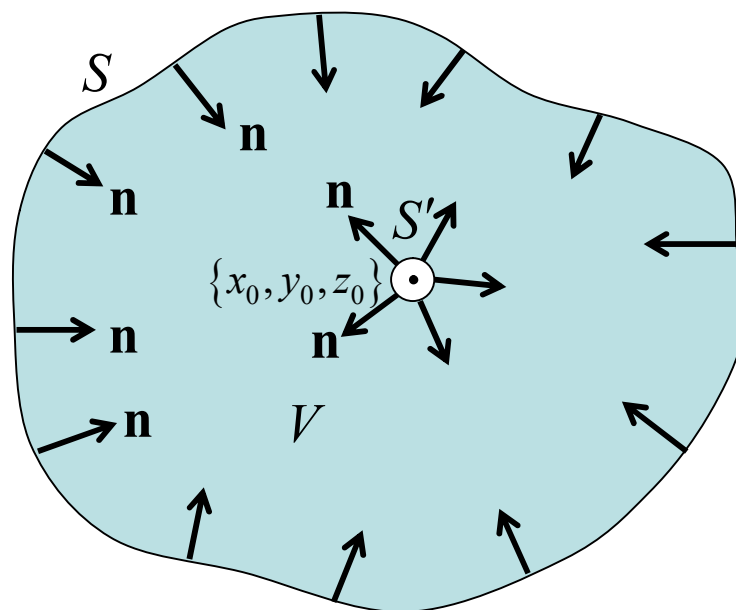
Картина дифракции = сумма полей (интерференция)  
точечных источников на исходной поверхности:

- поля точечных источников заданы падающим полем;
- каждое точечное поле - сферическая волна.

ТЕОРИЯ ДИФРАКЦИИ КИРХГОФА, 1883 г.  
Уравнения Максвелла\* 1864 г.



Поверхность с заданным распределением поля



Конечный результат теории Кирхгофа:

$$E(x_0, y_0, z_0) = \frac{1}{4\pi} \iint_S \left[ u \frac{e^{ikr}}{r} \left( ik - \frac{1}{r} \right) \cos \{ \mathbf{r}, \mathbf{n} \} + \frac{e^{ikr}}{r} \frac{\partial u}{\partial n} \right] ds$$

Формула Остроградского-Гаусса:

$$\textcircled{1} \quad \iiint_V u \Delta v dx dy dz = \iint_S u \frac{\partial v}{\partial n} ds - \iiint_V \left( \frac{\partial u}{\partial x} \frac{\partial v}{\partial x} + \frac{\partial u}{\partial y} \frac{\partial v}{\partial y} + \frac{\partial u}{\partial z} \frac{\partial v}{\partial z} \right) dx dy dz$$

$$\Delta v = \left( \frac{\partial^2}{\partial x^2} + \frac{\partial^2}{\partial y^2} + \frac{\partial^2}{\partial z^2} \right) v(x, y, z) \quad \frac{\partial v}{\partial n} = (\text{grad } v \cdot \mathbf{n}) = \frac{\partial v}{\partial x} n_x + \frac{\partial v}{\partial y} n_y + \frac{\partial v}{\partial z} n_z$$

(сходство с интегрированием «по-частям»)

$$\textcircled{2} \quad \iiint_V v \Delta u dx dy dz = \iint_S v \frac{\partial u}{\partial n} ds - \iiint_V \left( \frac{\partial u}{\partial x} \frac{\partial v}{\partial x} + \frac{\partial u}{\partial y} \frac{\partial v}{\partial y} + \frac{\partial u}{\partial z} \frac{\partial v}{\partial z} \right) dx dy dz$$

Разность:

$$\iiint_V (u \Delta v - v \Delta u) dx dy dz = \iint_S \left( u \frac{\partial v}{\partial n} - v \frac{\partial u}{\partial n} \right) ds$$

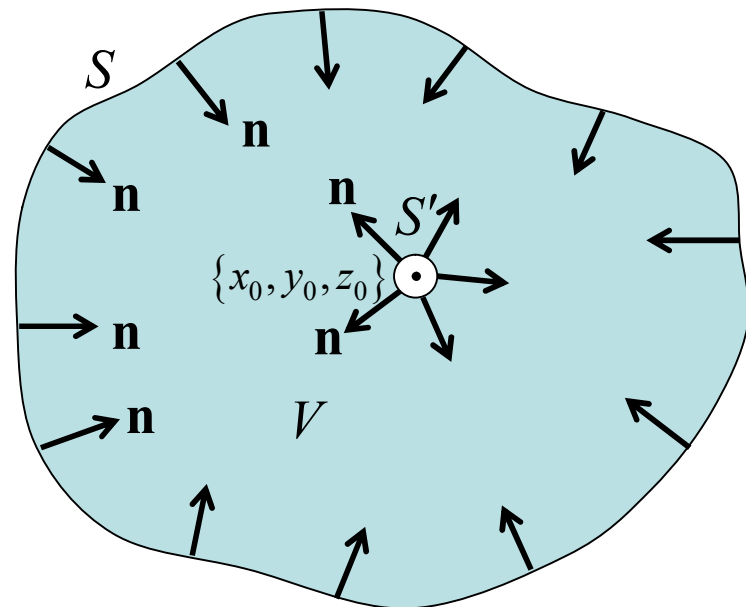
$$\iiint_V (u \Delta v - v \Delta u) dx dy dz = \iint_S \left( u \frac{\partial v}{\partial n} - v \frac{\partial u}{\partial n} \right) ds$$

$$\Delta u + k^2 u = 0 \quad v = \frac{e^{ikr}}{r}; \quad r^2 = (x - x_0)^2 + (y - y_0)^2 + (z - z_0)^2$$

$$\Delta v + k^2 v = 0 \quad \text{кроме точки } \{x_0, y_0, z_0\}$$

уравнения для поля э-м волны  
(уравнение Гельмгольца, теория Максвелла)

$$\begin{aligned} \iint_{S'} \left[ u \frac{\partial}{\partial n} \left( \frac{e^{ikr}}{r} \right) - \frac{e^{ikr}}{r} \frac{\partial u}{\partial n} \right] ds = \\ = - \iint_S \left[ u \frac{\partial}{\partial n} \left( \frac{e^{ikr}}{r} \right) - \frac{e^{ikr}}{r} \frac{\partial u}{\partial n} \right] ds \end{aligned}$$



$$\underbrace{\iint_{S'} \left[ u \frac{\partial}{\partial n} \left( \frac{e^{ikr}}{r} \right) - \frac{e^{ikr}}{r} \frac{\partial u}{\partial n} \right] ds}_{\Rightarrow -4\pi u(x_0, y_0, z_0) = -4\pi E(x_0, y_0, z_0)} = - \iint_S \left[ u \frac{\partial}{\partial n} \left( \frac{e^{ikr}}{r} \right) - \frac{e^{ikr}}{r} \frac{\partial u}{\partial n} \right] ds$$

$$\frac{\partial}{\partial n} \left( \frac{e^{ikr}}{r} \right) = -\frac{e^{ikr}}{r} \left( ik - \frac{1}{r} \right) \cos \{ \mathbf{r}, \mathbf{n} \}$$

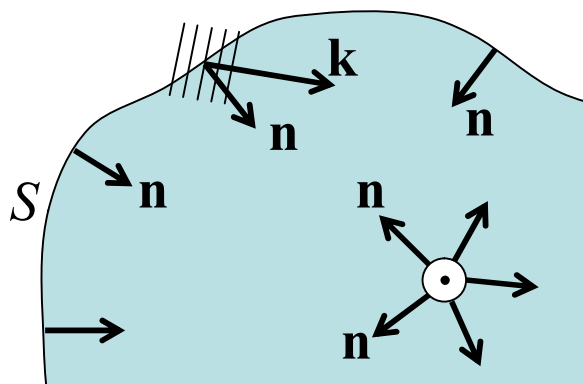
$$E(x_0, y_0, z_0) = \frac{1}{4\pi} \iint_S \left[ u \frac{e^{ikr}}{r} \left( ik - \frac{1}{r} \right) \cos \{ \mathbf{r}, \mathbf{n} \} + \frac{e^{ikr}}{r} \frac{\partial u}{\partial n} \right] ds$$

$$k = 2\pi / \lambda$$

$$E(x_0, y_0, z_0) \approx \frac{1}{4\pi} \iint_S \frac{e^{ikr}}{r} \left( ik u \cos \{ \mathbf{r}, \mathbf{n} \} + \frac{\partial u}{\partial n} \right) ds$$

$$E(x_0, y_0, z_0) \approx \frac{1}{4\pi} \iint_S \frac{e^{ikr}}{r} \left( ik u \cos \{ \mathbf{r}, \mathbf{n} \} + \frac{\partial u}{\partial n} \right) ds$$

Поле в точке наблюдения есть результат вкладов полей на окружающей поверхности и их нормальных производных



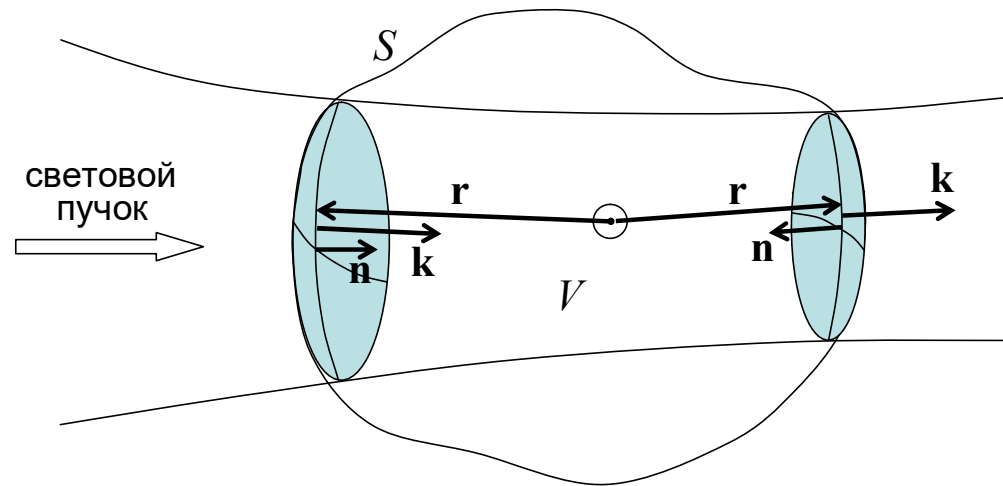
$$\frac{\partial u}{\partial n} \approx -iu (\mathbf{k} \cdot \mathbf{n}) = -ik u \cos \{ \mathbf{k}, \mathbf{n} \}$$

$$E(x_0, y_0, z_0) \approx \frac{ik}{4\pi} \iint_S \frac{e^{ikr}}{r} u \left( \cos \{ \mathbf{r}, \mathbf{n} \} - \cos \{ \mathbf{k}, \mathbf{n} \} \right) ds$$

~ принцип Гюйгенса Френеля



## Световые пучки:



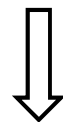
$$E(x_0, y_0, z_0) \approx \frac{ik}{4\pi} \iint_S \frac{e^{ikr}}{r} u \left( \cos \{ \mathbf{r}, \mathbf{n} \} - \cos \{ \mathbf{k}, \mathbf{n} \} \right) ds$$

набегающее поле       $\cos \{ \mathbf{r}, \mathbf{n} \} \approx -1$        $\cos \{ \mathbf{k}, \mathbf{n} \} \approx 1$

убегающее поле       $\cos \{ \mathbf{r}, \mathbf{n} \} \approx -1$        $\cos \{ \mathbf{k}, \mathbf{n} \} \approx -1$

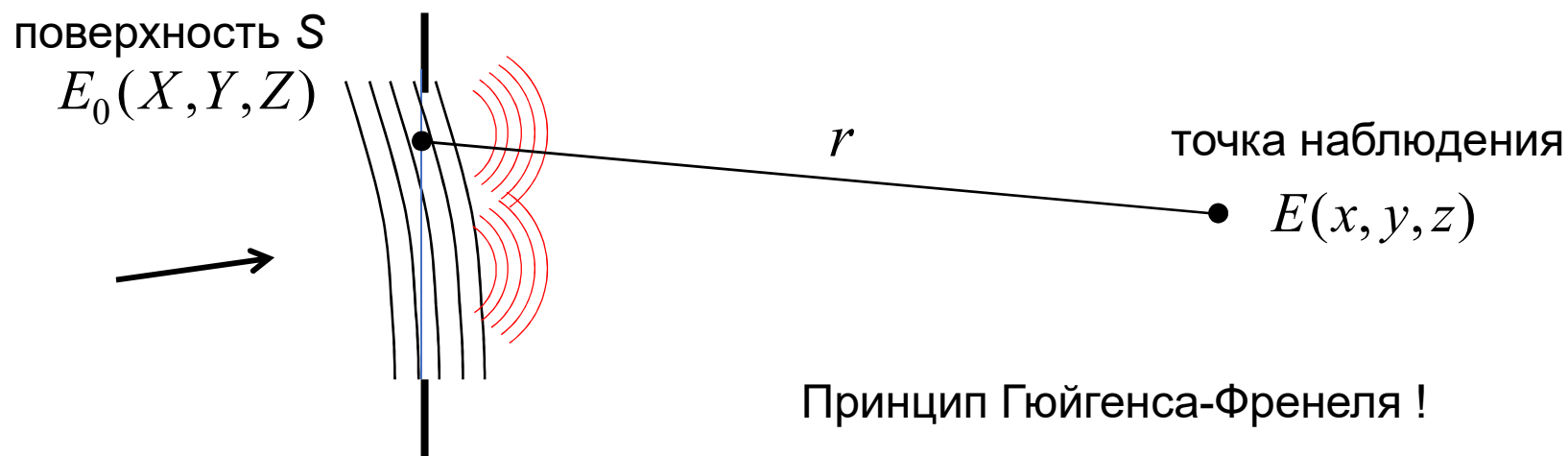
Интеграл по убегающему полю практически обнуляется !

$$E(x_0, y_0, z_0) \approx -\frac{ik}{2\pi} \iint_S \frac{e^{ikr}}{r} u \, ds$$

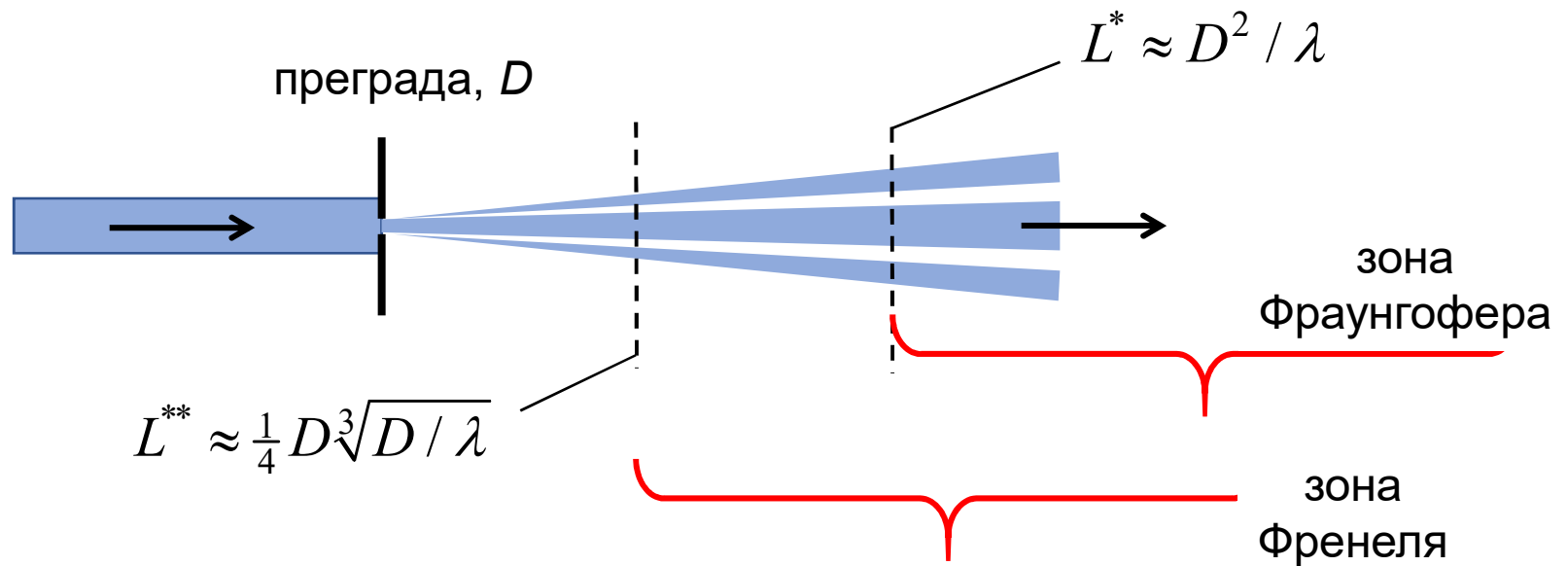


$$E(x, y, z) \approx -\frac{ik}{2\pi} \iint_S \frac{e^{ikr}}{r} E_0(X, Y, Z) \, ds$$

$$r^2 = (x - x_0)^2 + (y - y_0)^2 + (z - z_0)^2$$



$$E(x, y, z) \approx -\frac{ik}{2\pi} \iint_S \frac{e^{ikr}}{r} E_0 ds$$



$$r^2 = (x - x_0)^2 + (y - y_0)^2 + (z - z_0)^2 \approx$$

$$\approx \sqrt{L^2 + x^2 + y^2} - \frac{Xx}{L} - \frac{Yy}{L}$$

$$\approx \sqrt{L^2 + x^2 + y^2} - \frac{Xx}{L} - \frac{Yy}{L} + \frac{X^2}{2L} + \frac{Y^2}{2L}$$

приближение  
Фраунгофера

приближение  
Френеля

## Дифракция Фраунгофера (дальняя зона)

$$L \geq D^2 / \lambda \quad r \approx r_0 - \frac{Xx}{L} - \frac{Yy}{L} \quad r_0 = \sqrt{L^2 + x^2 + y^2}$$

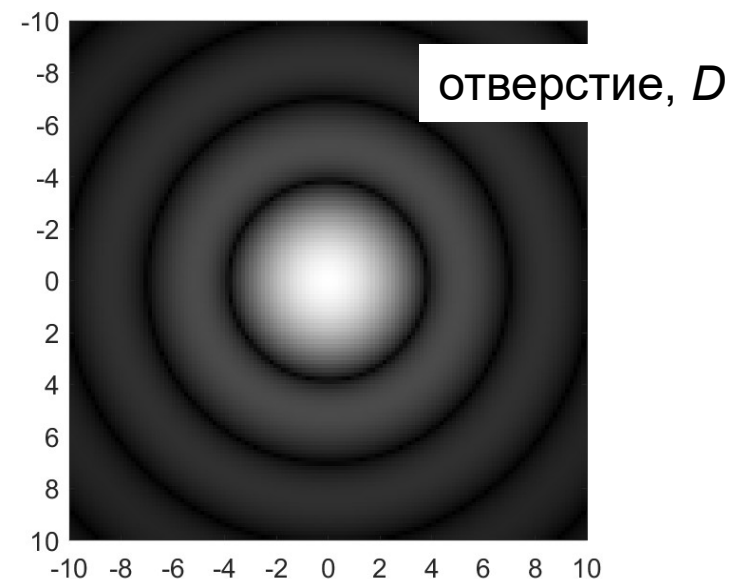
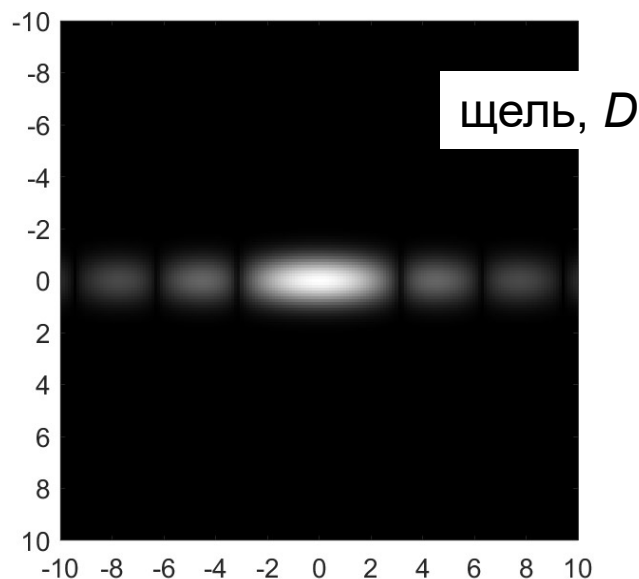
$$E(\alpha, \beta) \approx -\frac{ike^{ikr_0}}{2\pi L} \iint_S E_0(X, Y) \exp\{-ik(X\alpha + Y\beta)\} dXdY$$

Фурье-образ входного поля !

$$\alpha \approx \frac{x}{L}, \quad \beta \approx \frac{y}{L}$$

$$E(\alpha) \propto -\frac{ike^{ikr_0}}{L} \cdot \frac{\sin k\alpha D / 2}{k\alpha D / 2}$$

$$E(\theta) \propto -\frac{ike^{ikr_0}}{L} \cdot \frac{J_1(k\theta D / 2)}{k\theta D / 2}$$



## Дифракция Френеля

$$L \geq \frac{1}{4} D \sqrt[3]{D / \lambda}$$

$$r \approx r_0 - \frac{Xx}{L} - \frac{Yy}{L} + \frac{X^2}{2L} + \frac{Y^2}{2L}$$

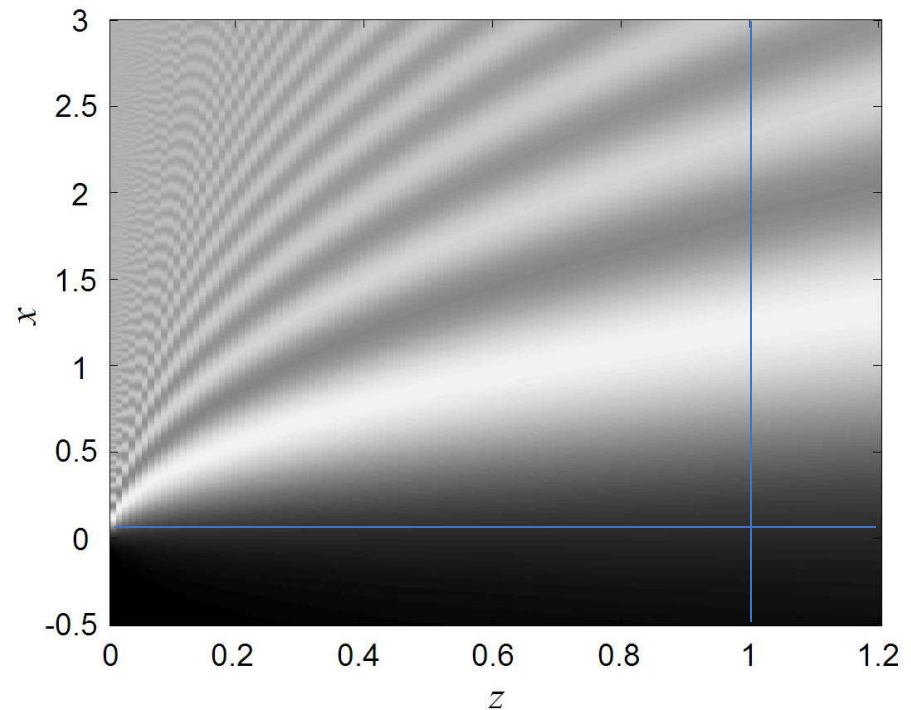
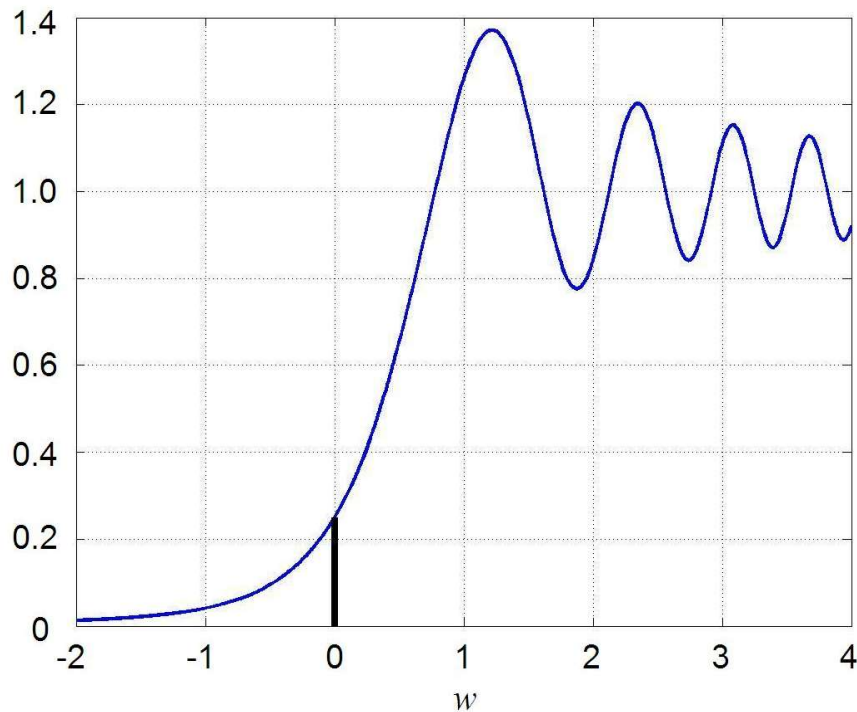
$$E(x, y, L) \approx -\frac{ike^{ikr_0}}{2\pi L} \iint_S E_0(X, Y) \underbrace{e^{ik(X^2+Y^2)/2L} \exp\left\{-ik\left(\frac{xX}{L} + \frac{yY}{L}\right)\right\}}_{\text{дополнительный фактор}} dXdY$$

## Дифракция Френеля на полуплоскости

$$E(x, y, L) = \dots = -\frac{ike^{ikr_0}}{2\pi L} e^{-ikx^2/2L} \sqrt{\frac{\lambda}{2L}} \left( \frac{1+i}{2} + C(w) + iS(w) \right)$$

Интегралы Френеля:  $C(w) = \int_0^w \cos(\pi t^2 / 2) dt$      $S(w) = \int_0^w \sin(\pi t^2 / 2) dt$

### Распределение интенсивности за полуплоскостью



Темы для самостоятельного повторения/изучения:

- Векторные операции: дивергенция, градиент;
- Интегрирование по-частям;
- Функции Бесселя
- и др.

## Тренировочные задачи

### Задача 1.

Подтвердить расчетом формулу для распределения поля в дальней зоне при дифракции на щели; определить угол между двумя первыми минимумами. Рассчитать схему наблюдения дифракции на щели с излучением Солнца на Земле.

### Задача 2.

Рассчитать распределения поля в дальней зоне при дифракции на прямоугольном отверстии заданных размеров.

### Задача 3.

Подтвердить расчетом формулу для распределения поля в дальней зоне при дифракции на круглом отверстии; определить угловой размер первого темного кольца.

### Задача 4.

Рассчитать интенсивность излучения на оси пучка за круглым отверстием; рассчитать положение основного максимума.

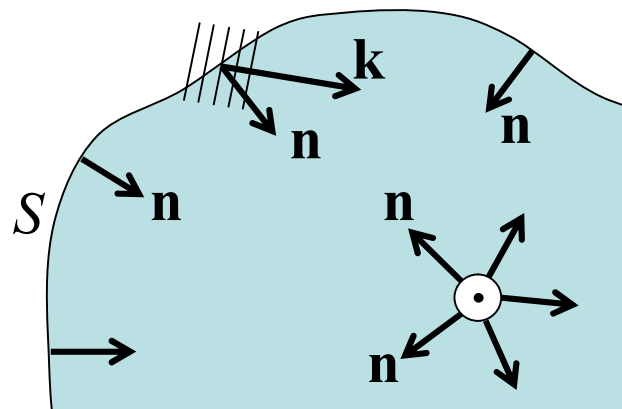
Задача 5. Рассчитать интенсивность излучения на оси пучка за линзой с известным фокусным расстоянием; рассчитать положение основного максимума.

Задача 6\*. Рассчитать параметры светлого пятна в картине дифракции за непрозрачным диском.



Повтор основных формул и некоторых результатов

$$u(x_0, y_0, z_0) = \frac{1}{4\pi} \iint_S \left[ u \frac{e^{ikr}}{r} \left( ik - \frac{1}{r} \right) \cos \{ \mathbf{r}, \mathbf{n} \} + \frac{e^{ikr}}{r} \frac{\partial u}{\partial n} \right] ds$$



$$u(x_0, y_0, z_0) \approx \frac{ik}{4\pi} \iint_S \frac{e^{ikr}}{r} u \left( \cos \{ \mathbf{r}, \mathbf{n} \} - \cos \{ \mathbf{k}, \mathbf{n} \} \right) ds$$

$$E(x_0, y_0, z_0) \approx -\frac{ik}{2\pi} \iint_S \frac{e^{ikr}}{r} u \, ds$$

$$E(x, y, z) \approx -\frac{ik}{2\pi} \iint_S \frac{e^{ikr}}{r} E_0 ds$$

Поверхность  $S$  – плоскость  $X, Y$ :  $E(x, y, z) \approx -\frac{ik}{2\pi} \iint_S E_0(X, Y) \frac{e^{ikr}}{r} dXdY$

$$r = \sqrt{(X-x)^2 + (Y-y)^2 + L^2}$$

Дифракция Фраунгофера, дальняя зона  $L \gg D^2 / \lambda$   $r \approx r_0 - \frac{Xx}{L} - \frac{Yy}{L}$

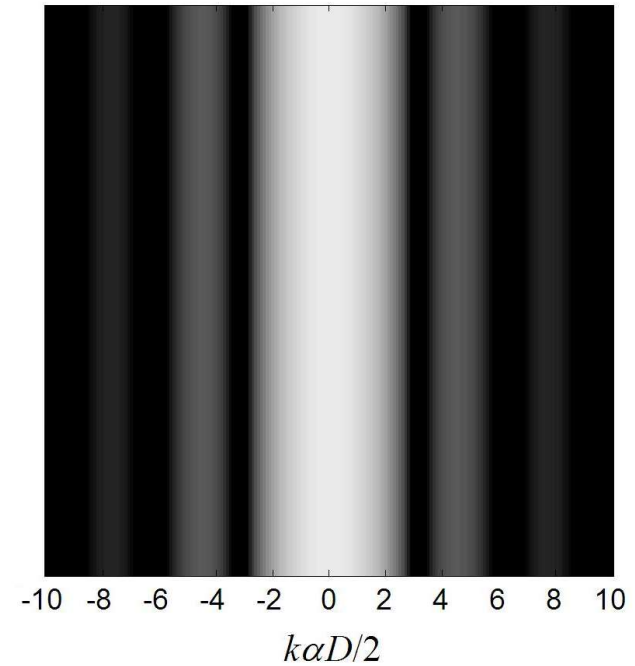
$$E(\alpha, \beta) = -\frac{ike^{ikr_0}}{2\pi L} \iint_S E_0(X, Y) \exp\{-ik(X\alpha + Y\beta)\} dXdY$$

Дифракция Френеля  $L \gg \frac{1}{4} D \sqrt{D / \lambda}$   $r \approx r_0 - \frac{Xx}{L} - \frac{Yy}{L} + \frac{X^2}{2L} + \frac{Y^2}{2L}$

$$E(x, y, L) \approx -\frac{ike^{ikr_0}}{2\pi L} \iint_S E_0(X, Y) e^{ik(X^2+Y^2)/2L} \exp\left\{-ik\left(\frac{xX}{L} + \frac{yY}{L}\right)\right\} dXdY$$

Дифракция Фраунгофера, щель

$$E(\alpha) = \frac{ik}{L} \frac{D}{2\pi} \left( \frac{\sin k\alpha D / 2}{k\alpha D / 2} \right) E_0 e^{ikr_0}$$



Дифракция Фраунгофера, круглое отверстие

$$E(\theta) = \frac{ik}{L} \cdot \frac{D^2}{4} \cdot \frac{J_1(k\theta D / 2)}{k\theta D / 2} E_0 e^{ikr_0}$$

